

ВЫЧИСЛИТЕЛЬНО ЭФФЕКТИВНАЯ РЕАЛИЗАЦИЯ ПРЯМОГО И ОБРАТНОГО ПРЕОБРАЗОВАНИЙ ВЕЙЛЯ-ГЕЙЗЕНБЕРГА

Асирян Валерий Мишевич
студент группы БЗС1401 МТУСИ
dmc5mod@yandex.ru

Волчков Валерий Павлович
д.т.н., профессор кафедры ОТС, МТУСИ
volchkovvalery@mail.ru

Ключевые слова: преобразование Вейля-Гейзенберга, ортогональный базис, хорошая локализация, быстрое преобразование Фурье, полифазное разложение.

Рассматривается задача вычислительно эффективной реализации прямого и обратного дискретных преобразований Вейля-Гейзенберга. В работе показывается, что применение $M/2$ -точечного обратного быстрого преобразования Фурье (ОБПФ) и полифазных КИХ-фильтров позволяет существенно снизить объем вычислительных затрат и делает возможным применение оптимальных базисов Вейля-Гейзенберга к сигналам больших размерностей.

История быстрых алгоритмов обработки сигналов берет свой отсчет с 1965 года, когда Джеймс Кули и Джон Тьюки опубликовали свою версию алгоритма вычисления дискретного преобразования Фурье (*Fast Fourier Transform*) [1]. С тех пор дискретный спектральный анализ играет ключевую роль в решении задач цифровой обработки и анализа сигналов. Тем не менее значительный технологический прогресс, достигнутый в разработке новых алгоритмов передачи и обработки информации, делает особенно актуальными исследования все более сложных методов получения частотных и частотно-временных характеристик сигналов.

Как было замечено в современных работах [2], для получения информации о спектре, локализованного во времени, наиболее целесообразно применение обобщенных базисов Вейля-Гейзенберга (*Generalized Weyl-Heisenberg Bases*), получаемых путем равномерных сдвигов по времени и частоте. В статьях также показано, что базис Вейля-Гейзенберга, построенный на основе произвольного импульса, не будет оптимальным, поскольку частотно-временная локализация формируемых базисных функций может оказаться неприемлемой. Именно поэтому, особый интерес в изучении представляет оптимальный базис Вейля-Гейзенберга, в основу которого положены частотно-временные свойства гауссиана (базис Габора). Однако, как известно, такой WH -базис не является ортогональным, а, следовательно, не может применяться для обработки сигналов. Между тем, в статье [3] описывается вычислительно эффективный алгоритм ортогонализации формирующей функции оптимального базиса Вейля-Гейзенберга с использованием дискретных *Zak*-преобразований, что также делает возможным построение ортогональных WH -базисов больших размеров. В свою очередь, применение оптимальных базисов Вейля-Гейзенберга к многомерным сигналам (например, изображениям) по-прежнему остается сложной задачей, так как сформулированные в работе [4] прямое и обратное дискретные преобразования Вейля-Гейзенберга (*Weyl-Heisenberg Transform*) требуют серьезных вычислительных затрат. Таким образом, целью данного исследования является построение и анализ методов вычислительно эффективной реализации дискретных преобразований Вейля-Гейзенберга (*Fast Weyl-Heisenberg Transform*).

1. Постановка задачи и метод ее решения

Прямое дискретное преобразование Вейля-Гейзенберга сигнала $s[n]$, $n \in J_N$ (в общем случае комплексного), заданного на конечном дискретном интервале $J_N = \{0, 1, \dots, N-1\}$, базируется на его обобщенном спектральном представлении в следующем виде:

$$c_{k,l} = c_{k,l}^R + jc_{k,l}^I, \quad (1)$$

$$c_{k,l}^R = \langle s[n], \psi_{k,l}^R[n] \rangle_R, \quad c_{k,l}^I = \langle s[n], \psi_{k,l}^I[n] \rangle_R, \quad (2)$$

$$k \in J_M = \{k = 0, 1, \dots, M-1\}, \quad l \in J_L = \{l = 0, 1, \dots, L-1\},$$

где $\mathcal{B} = \{\psi_{k,l}^R[n], \psi_{k,l}^I[n]\}$ – WH-система, состоящая из дискретных комплексных базисных функций, сдвинутых относительно друг друга по времени и частоте, нормированная и ортогональная в смысле вещественного скалярного произведения:

$$\langle x[n], y[n] \rangle_R = \text{Re} \sum_{n=0}^{N-1} x[n] \bar{y}[n], \quad (3)$$

$$\langle \psi_{k,l}^R[n], \psi_{k',l'}^R[n] \rangle_R = \delta_{k,k'} \delta_{l,l'}, \quad \langle \psi_{k,l}^I[n], \psi_{k',l'}^I[n] \rangle_R = \delta_{k,k'} \delta_{l,l'}, \quad \langle \psi_{k,l}^R[n], \psi_{k',l'}^I[n] \rangle_R = 0, \quad (4)$$

($\delta_{k,l}$ – символ Кронекера), а элементы базисных функций описываются выражениями:

$$\psi_{k,l}^R[n] = g[(n-lM)_{\text{mod } N}] e^{j \frac{2\pi}{M} k \left(n + \frac{\alpha}{2} \right)}, \quad (5)$$

$$\psi_{k,l}^I[n] = jg[(n+M/2-lM)_{\text{mod } N}] e^{j \frac{2\pi}{M} k \left(n + \frac{\alpha}{2} \right)}, \quad (6)$$

где $(\cdot)_{\text{mod } N}$ – операция взятия модуля в аргументах функций на дискретном интервале J_N (в дальнейшем будет опускаться), α – фазовый параметр, обеспечивающий физическую реализуемость ортонормированного WH-базиса $\mathcal{B} = \{\psi_{k,l}^R[n], \psi_{k,l}^I[n]\}$ в виде соответствующего банка фильтров, а $g[n]$ – формирующая WH-функция. При этом количество используемых частотных сдвигов M задает разрешающую способность по частоте, а количество временных сдвигов L – разрешающую способность по времени. Их произведение $N = M \cdot L$ определяет общее число элементов дискретного сигнала $s[n]$.

В работе [3] показано, что если формирующая WH-функция удовлетворяет условию сопряженной N -симметрии: $g[n] = g^*[-n]_{\text{mod } N}$ [3], то значение фазового параметра следует выбирать равным $\alpha = \alpha_{\text{omn}} = M/2$. Тогда вещественные коэффициенты прямого преобразования (2) будут вычисляться по формулам:

$$c_{k,l}^R = \langle s[n], \psi_{k,l}^R[n] \rangle_R = \text{Re} \sum_{n=0}^{N-1} s[n] g[n-lM] e^{-j \left(\frac{2\pi}{M} n + \frac{\pi}{2} \right) k} = \quad (7)$$

$$= \text{Re} \sum_{n=0}^{N-1} g[n] s[lM-n] e^{j \left(\frac{2\pi}{M} n - \frac{\pi}{2} \right) k},$$

$$c_{k,l}^I = \langle s[n], \psi_{k,l}^I[n] \rangle_R = \text{Re} \sum_{n=0}^{N-1} -js[n] g[n+M/2-lM] e^{-j \left(\frac{2\pi}{M} n + \frac{\pi}{2} \right) k} = \quad (8)$$

$$= \text{Im} \sum_{n=0}^{N-1} g[n-M/2] s[lM-n] e^{j \left(\frac{2\pi}{M} n - \frac{\pi}{2} \right) k},$$

$$k \in J_M, \quad m \in J_L.$$

Обратное дискретное преобразование Вейля-Гейзенберга позволяет восстановить исходный сигнал $s[n]$, $n \in J_N$ по спектральным коэффициентам (1) и базисным WH-функциям (5), (6) с использованием следующего конечного ряда:

$$s[n] = \sum_{k=0}^{M-1} \left(\sum_{l=0}^{L-1} c_{k,l}^R \psi_{k,l}^R[n] + \sum_{l=0}^{L-1} c_{k,l}^I \psi_{k,l}^I[n] \right) =$$

$$= \sum_{k=0}^{M-1} \left(\sum_{l=0}^{L-1} c_{k,l}^R g[n-lM] e^{j \left(\frac{2\pi}{M} n - \frac{\pi}{2} \right) k} + j \sum_{l=0}^{L-1} c_{k,l}^I g[n+M/2-lM] e^{j \left(\frac{2\pi}{M} n - \frac{\pi}{2} \right) k} \right) \quad (9)$$

Несложно заметить, что вычисление (7-8) при прямом преобразовании Вейля-Гейзенберга требует $O(2N^2)$ комплексных операций. Аналогичный объем вычислительных затрат требуется для восстановления сигнала при обратном преобразовании, согласно формуле (9).

2. Вычислительно эффективная реализация прямого WH-преобразования

Для упрощения вычислений вещественных коэффициентов преобразования (7-8) воспользуемся тождествами:

$$\text{Re}(a) = (a + a^*) / 2, \quad \text{Im}(a) = (a - a^*) / 2j, \quad (10)$$

а также известным фактом, что любую конечную последовательность $x[n], n \in J_N$ можно разложить в сумму сопряженно-симметрической и сопряженно-антисимметрической последовательностей:

$$x[n] = x_{ep}[n] + x_{op}[n], \quad (11)$$

$$x_{ep}[n] = \frac{1}{2} \left(x[(n)_{\text{mod } N}] + x^*[-(n)_{\text{mod } N}] \right), \quad (12)$$

$$x_{op}[n] = \frac{1}{2} \left(x[(n)_{\text{mod } N}] - x^*[-(n)_{\text{mod } N}] \right). \quad (13)$$

Тогда формулу (7) можно разбить на две части, которые соответствуют фильтрам с четными и нечетными номерами [1]:

$$c_{2k,l}^R = \frac{1}{2} \sum_{m=0}^{M/2-1} \left(A_l(m) + A_l(m+M/2) + A_l^*(M/2-m) + A_l^*(M-m) \right) e^{j \frac{2\pi}{M/2} mk}, \quad (14)$$

$$c_{2k+1,l}^R = \frac{1}{2} \sum_{m=0}^{M/2-1} \left(A_l(m) - A_l(m+M/2) - A_l^*(M/2-m) + A_l^*(M-m) \right) e^{j \frac{2\pi}{M} m} e^{j \frac{2\pi}{M/2} mk}. \quad (15)$$

Аналогичные преобразования можно выполнить и для формулы (8):

$$c_{2k,l}^I = \frac{1}{2j} \sum_{m=0}^{M/2-1} \left(B_l(m) + B_l(m+M/2) - B_l^*(M/2-m) - B_l^*(M-m) \right) e^{j \frac{2\pi}{M/2} mk}, \quad (16)$$

$$c_{2k+1,l}^I = \frac{1}{2j} \sum_{m=0}^{M/2-1} \left(B_l(m) - B_l(m+M/2) + B_l^*(M/2-m) - B_l^*(M-m) \right) e^{j \frac{2\pi}{M} m} e^{j \frac{2\pi}{M/2} mk}, \quad (17)$$

где $k \in J_{M/2}$, $l \in J_L$, а $A_l(m)$ и $B_l(m)$ определяются на интервале J_M следующим образом:

$$A_l(m) = \sum_{l'=0}^{L-1} g[m+M/4+l'M] s[lM-m-M/4-l'M], \quad (18)$$

$$B_l(m) = \sum_{l'=0}^{L-1} g[m-M/4+l'M] s[lM-m-M/4-l'M]. \quad (19)$$

Сформируем новые последовательности на половинном интервале $J_{M/2}$:

$$\tilde{A}_l(m) = \frac{1}{2} \left\{ A_l(m) + A_l(m+M/2) + A_l^*(M/2-m) + A_l^*(M-m) + \right.$$

$$\left. + j \left(A_l(m) - A_l(m+M/2) - A_l^*(M/2-m) + A_l^*(M-m) \right) e^{j \frac{2\pi}{M} m} \right\}, \quad (20)$$

$$\begin{aligned} \tilde{B}_l(m) = \frac{1}{2j} \{ & B_l(m) + B_l(m + M/2) - B_l^*(M/2 - m) - B_l^*(M - m) + \\ & + j(B_l(m) - B_l(m + M/2) + B_l^*(M/2 - m) - B_l^*(M - m)) e^{j\frac{2\pi}{M}m} \}. \end{aligned} \quad (21)$$

Тогда с учетом (14-17), коэффициенты $c_{k,l}^R$ и $c_{k,l}^I$ можно вычислить с помощью $M/2$ -точечного обратного БПФ (по частоте):

$$c_{2k,l}^R = \text{Re}\{IFFT(\tilde{A}_l(m))\}, \quad c_{2k+1,l}^R = \text{Im}\{IFFT(\tilde{A}_l(m))\}, \quad (22)$$

$$c_{2k,l}^I = \text{Re}\{IFFT(\tilde{B}_l(m))\}, \quad c_{2k+1,l}^I = \text{Im}\{IFFT(\tilde{B}_l(m))\}. \quad (23)$$

3. Вычислительно эффективная реализация обратного ВН-преобразования

Для упрощения вычисления выражения (9) сформируем последовательности на половинном интервале $J_{M/2}$ с помощью $M/2$ -точечного обратного БПФ (по частоте):

$$\tilde{A}_l(m) = IFFT(c_{2k,l}^R + jc_{2k+1,l}^R), \quad (24)$$

$$\tilde{B}_l(m) = IFFT(c_{2k,l}^I + jc_{2k+1,l}^I). \quad (25)$$

Используя тождества (10), сформируем новые последовательности на интервале $J_{M/2}$:

$$A_l(m) = \frac{1}{2}(\tilde{A}_l(m) + \tilde{A}_l^*(M - m)) + \frac{1}{2j}(\tilde{A}_l(m) - \tilde{A}_l^*(M - m))e^{j\frac{2\pi}{M}m}, \quad (26)$$

$$A_l(m + M/2) = \frac{1}{2}(\tilde{A}_l(m) + \tilde{A}_l^*(M - m)) - \frac{1}{2j}(\tilde{A}_l(m) - \tilde{A}_l^*(M - m))e^{j\frac{2\pi}{M}m}, \quad (27)$$

$$B_l(m) = \frac{1}{2}(\tilde{B}_l(m) + \tilde{B}_l^*(M - m)) + \frac{1}{2j}(\tilde{B}_l(m) - \tilde{B}_l^*(M - m))e^{j\frac{2\pi}{M}m}, \quad (28)$$

$$B_l(m + M/2) = \frac{1}{2}(\tilde{B}_l(m) + \tilde{B}_l^*(M - m)) - \frac{1}{2j}(\tilde{B}_l(m) - \tilde{B}_l^*(M - m))e^{j\frac{2\pi}{M}m}. \quad (29)$$

Определим исходный сигнал на интервале $n \in J_N$ по формуле:

$$s[n] = \sum_{l=0}^{L-1} A_l[n + M/4] g[n - lM] - j \sum_{l=0}^{L-1} B_l[n + M/4] g[n + M/2 - lM]. \quad (30)$$

4. Результаты моделирования

На рис. 1 представлены зависимости количества затраченных комплексных операций для стандартного и предложенного алгоритмов от M при фиксированном значении $L = 8$. В таблицах 1-2 приведены более точные результаты для соответствующих пар значений сдвигов M и L .

Таблица 1. Стандартный алгоритм

$M \backslash L$	4	8	16
16	4096	16484	65536
32	16384	65536	262144
64	65536	262144	1048576

Таблица 2. Предложенный алгоритм

$M \backslash L$	4	8	16
16	1280	3584	11264
32	2816	7680	23552
64	6144	16384	49152

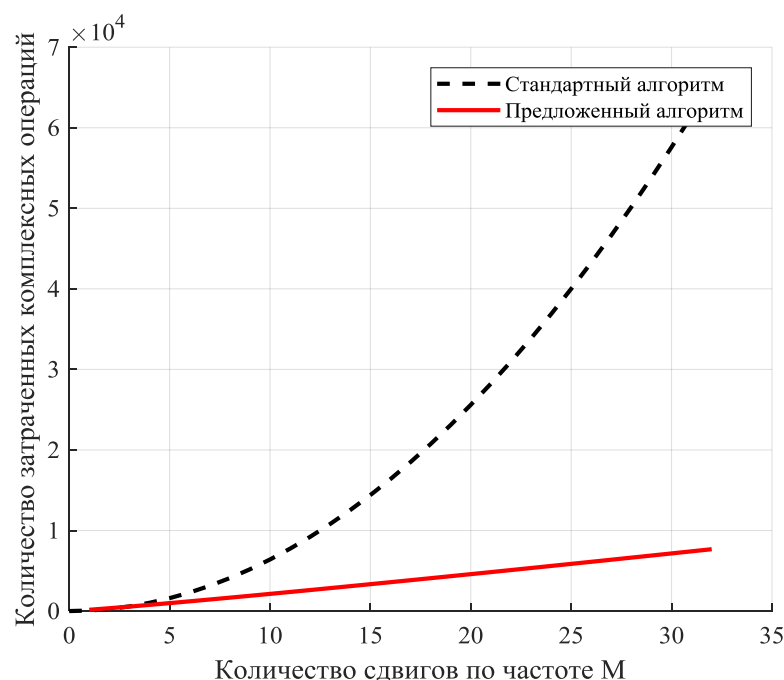


Рис 1. Зависимость количества затраченных комплексных операций от M (при $L = 8$)

Заключение

Общее количество полных комплексных операций при прямом преобразовании оказывается пропорциональным величине $O(2ML^2 + 2N \log_2 M + 4N)$, что значительно меньше полученной ранее оценки $O(2N^2)$. Аналогичный объем вычислений требуется и при обратном преобразовании. Кроме того, поскольку на практике значение $L \in \{2; 4; 8\}$ – невелико, а $M \gg L$, то алгоритмы преобразований оказываются быстрыми.

Известный факт, что дискретные ортогональные преобразования Вейля-Гейзенберга обладают свойством линейной сепарабельности [4], дает основание полагать, что вышеописанные быстрые алгоритмы могут быть применены для вычислительно эффективной реализации многомерных WH -преобразований.

Литература

1. Cooley J.W., Tukey J.W. An Algorithm for the Machine Computation of Complex Fourier Series // Math. Comp., 1965. №19. - p. 297-301;
2. Волчков В.П. Сигнальные базисы с хорошей частотно-временной локализацией // Электросвязь, 2007, №2, с. 21-25;
3. Волчков В.П., Асирян В.М. Вычислительно эффективный алгоритм формирования базиса Вейля-Гейзенберга // Материалы Международной научно-технической конференции, INTERMATIC – 2017, часть 4, М.: МИРЭА, с. 1151-1154;
4. Асирян В.М., Волчков В.П. Применение ортогонального преобразования Вейля-Гейзенберга для сжатия изображений. // Телекоммуникации и информационные технологии. Том 4, № 1, 2017, с. 50-56.

A COMPUTATIONALLY EFFICIENT IMPLEMENTATION OF THE DIRECT AND INVERSE WEYL-HEISENBERG TRANSFORMS

Valery M. Asiryan

Student of group BZS1401, MTUCI

dmc5mod@yandex.ru

Valery P. Volchkov

Grand Ph.D., professor, TES department, MTUCI

volchkovvalery@mail.ru

Keywords: *Weyl-Heisenberg transform, orthogonal basis, good localization, fast Fourier transform, polyphase components.*

Here is considered the problem of computationally efficient implementation of the direct and inverse discrete Weyl-Heisenberg transforms. The paper shows that the application of M/2-point inverse fast Fourier transform (IFFT) and polyphase FIR-filters can significantly reduce computational costs and makes it possible to apply optimal Weil-Heisenberg bases to signals of large dimensions.